シリコン両側マイクロリング共振器装荷型マッハ・ツェンダー光変調器 動作実証と評価

Demonstration and characterization of silicon double microring resonator-loaded Mach-Zehnder modulator

¹横浜国大院工²中部大 [○]立川 準 ¹, 大和 良隆 ¹, 國分泰雄 ², 荒川 太郎 ¹ ¹Yokohama National Univ., ²Chubu Univ. [°]J. Tatsukawa¹, Y. Yamato¹, Y. Kokubun², and T. Arakawa¹

E-mail: tatsukawa-jun-mp@ynu.jp, arakawa-taro-vj@ynu.ac.jp

1. はじめに

マイクロリング共振器装荷型マッハ・ツェンダー 光変調器(MRR-MZM)は、MRR の位相変化増大 効果と MZ の干渉効果を組み合わせることで、低 電圧動作、素子サイズの小型化が期待できる[1-3]. 今回、MRR を MZ の両アームに 1 つずつ装荷さ せたシリコン両側 MRR 装荷 MZM (D-MRR-MZM) の動作実証とパラメータフィッティング による特性評価を行ったので報告する.

2. 素子構造

D-MRR-MZM の概略図を Fig.1 に示す. 導波路には、幅 400 nm、高さ 210 nm のリブ形シリコン細線を用いた. D-MRR-MZM は両アームに縦型 pm 接合を有する MRR が装荷され、キャリアプラズマ効果により位相変調器として動作する. 二つのリングには MRR の共振波長調整用の TiN ヒーターが設置されている. push-pull 駆動を行うことで2 つの MRR をそれぞれ $\pm \pi/2$ 変調している. これにより片側 MRR 装荷 MZM(S-MRR-MZM)と比較して低電圧動作が期待できる.



Fig.1 Schematic top view of Si D-MRR-MZM.

3. 特性評価

D-MRR-MZM は SITRI のマルチマルチプロジェクトウエハとして作製し、その特性評価を行った. MRR の設計値は、MRR-バスライン導波路間の結合率 K=0.1、リング周長 L=130 μ m である.DC 変調特性の測定結果を Fig. 2 に示す.動作波長 λ =1549.79 nm において、駆動電圧 2.3 λ で消光比34 dB が得られ、Si S-MRR-MZM[3]と比較して低電圧動作かつ高消光比を確認した.印加電圧 0 λ において、結合率 λ リング1周当たりの電界透過率 λ MZ 干渉計のアーム初期位相差 λ リング周長差 λ MZ 干渉計の入力側 MMI カプラの分岐比 λ をパラメータとし、評価関数を残差平方和と λ 電圧としてフィッティングを行った.結果をFig. 3 に示す.

また、この時、MZ アーム初期位相差 φ は挿入損失と π 電圧を決定する重要なパラメータになっており(Fig. 4)、ヒーター補正することで、低い挿入損失かつ低電圧動作が期待できる.

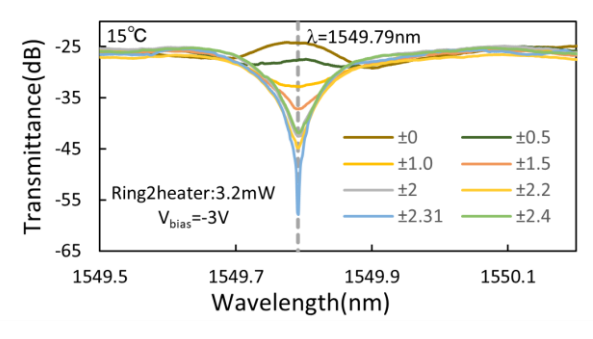


Fig. 2. DC modulation characteristics of Si D-MRR-MZM

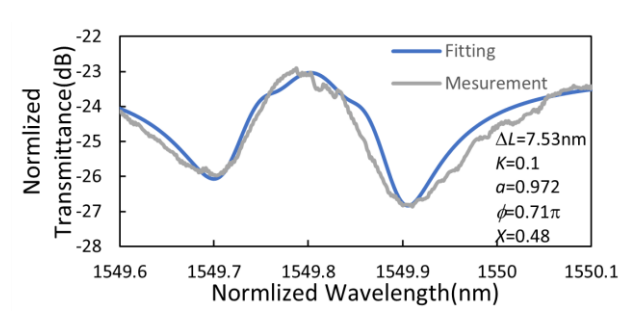


Fig. 3. Measured and fitted transmittance spectra without applied voltage.

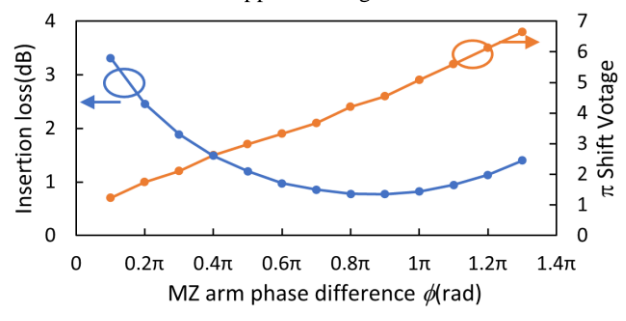


Fig. 4. Calculated insertion loss and π shift voltage as function of initial phase difference φ .

参考文献

- [1] H. Kaneshige et al., Opt. Express, 21, 16888 (2013).
- [2] Y. Yabushita et al., MOC 2017, A-4 (2017).
- [3] Y. Yabushita et al., Jpn. J. Appl. Phys. 57, 08PC05 (2018)